



Laboratorium Badań Środowiskowych  
ul. Józefa Piusa Dziekońskiego 3  
00-728 Warszawa  
e-mail: [Laboratorium@networks.pl](mailto:Laboratorium@networks.pl)



AB 419

S P R A W O Z D A N I E 8534/2022/OS  
Z POMIARÓW PÓL ELEKTROMAGNETYCZNYCH  
WYKONANYCH DLA POTRZEB OCHRONY ŚRODOWISKA

Badany obiekt: Instalacja radiokomunikacyjna Orange Polska S.A.  
Numer i nazwa: 21019 (21019N!) LEMANS TMPL JAROSŁAW DK77  
(KPR\_JAROSLAW\_JAROSLAW77)  
Adres: JAROSŁAW 77, Powiat jarosławski, WOJ. PODKARPACKIE

Data wykonania pomiarów: 2023-02-16

Sprawozdanie z badań bez pisemnej zgody laboratorium nie może być powielane inaczej niż w całości.  
Wynik przedstawione w niniejszym sprawozdaniu odnoszą się wyłącznie do badanego obiektu i do warunków i konfiguracji urządzeń w dniu wykonywania pomiarów.

**1. Właściciel badanego obiektu:**

Orange Polska S.A., Al. Jerozolimskie 160, 02-326 Warszawa

**2. Zleceniodawca:**

Orange Polska S.A., Al. Jerozolimskie 160, 02-326 Warszawa

**3. Przedstawiciel zleceniodawcy:**

NetWorkS! Sp.z o.o.

**4. Zakres zlecenia:**

Wykonanie badania i opracowanie sprawozdania z pomiarów natężenia pola elektrycznego i pola magnetycznego dla instalacji radiokomunikacyjnej Orange Polska S.A. zlokalizowanej w miejscowości JAROSŁAW 77.

**5. Cel zlecenia:**

Wykonanie pomiarów pól elektromagnetycznych w otoczeniu instalacji radiokomunikacyjnej 21019 (21019N!) LEMANS TMPL JAROSŁAW DK77 (KPR\_JAROSŁAW\_JAROSŁAW77) w odniesieniu do wymagań określonych w *Rozporządzeniu Ministra Klimatu z dnia 17 lutego 2020 r. w sprawie sposobów sprawdzania dotrzymania dopuszczalnych poziomów pól elektromagnetycznych w środowisku (Dz. U. 2020, poz. 258 z późn. zm. w Dz.U. 2022 poz. 1121)*.

**6. Pomiary zostały wykonane przez:**

Supernak Jacek  
Podstawek Łukasz

**7. Informacje o źródłach pól elektromagnetycznych**

**7.1. Sposób identyfikacji badanych źródeł pól elektromagnetycznych**

Identyfikacji źródeł i parametrów technicznych dokonano na podstawie analizy dokumentacji dotyczącej zlecenia oraz obserwacji miejsca wykonywania badań.

**7.2. Opis miejsca zainstalowania anten i urządzeń technicznych. Opis obiektu badań i jego otoczenia**

Instalacja radiokomunikacyjna zlokalizowana jest na terenie nieogrodzonym. Anteny zawieszono na bramownicy nad drogą krajową. Urządzenia sterujące oraz zasilające zainstalowano w szafie outdoor u podstawy bramownicy. Wokół instalacji znajdują się tereny zielone, droga krajowa.

Instalacja radiokomunikacyjna jest obiektem bezobsługowym. Okresowe stanowiska pracy związane są z prowadzonymi w zależności od potrzeb konserwacjami, przeglądami, strojeniem i naprawami.

### 7.3. Parametry techniczne źródła pola elektromagnetycznego

Dane przedstawiające maksymalne parametry pracy instalacji przekazane przez zleceniodawcę:

Parametry radiolinii:

| Charakterystyka promieniowania  |   |                           |  | kierunkowa         |                     |            |                                   |
|---------------------------------|---|---------------------------|--|--------------------|---------------------|------------|-----------------------------------|
| Rzeczywisty czas pracy [h/dobę] |   |                           |  | 24                 |                     |            |                                   |
| Warunki pracy                   |   |                           |  | znamionowe         |                     |            |                                   |
| Rodzaj wytwarzanego pola        |   |                           |  | stacjonarne        |                     |            |                                   |
| Lp.                             | Linia radiowa                               |                           |  | Antena             |                     |            |                                   |
|                                 | Typ/ Producent                              | Częstotliwość pracy [GHz] | Równoważna moc promieniowana izotropowo (EIRP) [W] | Typ/ producent     | Średnica anteny [m] | Azymut [°] | Wysokość zainstalowania n.p.t [m] |
| 1.                              | RTN 380 R2<br>70/80GHz<br>62.5MHz<br>Huawei | 80                        | 1779   | VHLP1-80<br>Andrew | 0.3                 | 101        | 12                                |

### 7.4 Inne źródła pól elektromagnetycznych

Na podstawie informacji otrzymanych od użytkownika oraz obserwacji otoczenia miejsca wykonywania pomiarów nie stwierdzono występowania innych źródeł pola-EM

## 8. Opis pomiarów

### 8.1. Metoda badań

Zgodna z rozporządzeniem Ministra Klimatu z dnia 17 lutego 2020 r. w sprawie sposobów sprawdzania dotrzymania dopuszczalnych poziomów pól elektromagnetycznych w środowisku (Dz. U. 2020, poz. 258 z późn. zm. w Dz.U. 2022 poz. 1121), określona w pkt 25 ppkt 1 załącznika do niniejszego rozporządzenia.

Zgodnie z art. 122a ust. 1b ustawy Prawo Ochrony Środowiska, w przypadku wprowadzenia na części albo całym terytorium Rzeczypospolitej Polskiej stanu nadzwyczajnego, o którym mowa w art. 228 ust. 1 Konstytucji Rzeczypospolitej Polskiej z dnia 2 kwietnia 1997 r. (Dz. U. poz. 483, z 2001 r. poz. 319, z 2006 r. poz. 1471 oraz z 2009 r. poz. 946), lub stanu zagrożenia epidemicznego lub stanu epidemii, o których mowa w art. 46 ustawy z dnia 5 grudnia 2008 r. o zapobieganiu oraz zwalczaniu zakażeń i chorób zakaźnych u ludzi (Dz. U. z 2019 r. poz. 1239, z późn. zm.8) ), pomiarów , nie przeprowadza się w lokalach mieszkalnych oraz w lokalach użytkowych zlokalizowanych na terytorium objętym stanem nadzwyczajnym, stanem zagrożenia epidemicznego lub stanem epidemii.

W związku z obecnie obowiązującym stanem zagrożenia epidemicznego, pomiarów nie wykonano w lokalach mieszkalnych oraz w lokalach użytkowych zlokalizowanych w obszarze pomiarowym przedmiotowej instalacji radiokomunikacyjnej.

### 8.2. Termin pomiarów i warunki środowiskowe

Podczas wykonywania pomiarów pól elektromagnetycznych nie występowały opady atmosferyczne. Wyniki pomiaru parametrów pogodowych przedstawia poniższa tabela:

| Data<br>[rrrr-mm-dd] | Godzina<br>[hh:mm-hh:mm] | Warunki środowiskowe |              |                         |              |
|----------------------|--------------------------|----------------------|--------------|-------------------------|--------------|
|                      |                          | Temperatura [°C]     |              | Wilgotność względna [%] |              |
| 2023-02-16           | 10:00-10:40              | Przed pomiarem       | Po pomiarach | Przed pomiarem          | Po pomiarach |
|                      |                          | 2.4                  | 2.7          | 70.3                    | 70.2         |

Przedstawione wyżej warunki środowiskowe, występujące podczas wykonywania pomiarów pól elektromagnetycznych, są zgodne ze specyfikacją techniczną użytego zestawu pomiarowego.

### 8.3. Warunki pracy urządzeń nadawczych

Podczas pomiarów w przypadku uzyskania wyniku pomiaru szerokopasmowego wykonanego zastosowaną metodą, dla zakresów częstotliwości od 10 MHz do 300 GHz, powiększonego o rozszerzoną niepewność pomiaru U dla współczynnika rozszerzenia  $k = 2$  przekraczającego

Sprawozdanie z badań bez pisemnej zgody laboratorium nie może być powielane inaczej niż w całości.  
Wynik przedstawione w niniejszym sprawozdaniu odnoszą się wyłącznie do badanego obiektu i do warunków i konfiguracji urządzeń w dniu wykonywania pomiarów.

70% najniższej dopuszczalnej wartości składowej elektrycznej lub magnetycznej pola dla objętych pomiarami zakresów częstotliwości, uwzględnia się poprawki pomiarowe przekazane przez zleceniodawcę, umożliwiające uwzględnienie maksymalnych parametrów pracy instalacji zgodnie z pkt 7 załącznika do Rozporządzenia Ministra Klimatu z dnia 17 lutego 2020 r. w sprawie sposobów sprawdzania dotrzymania dopuszczalnych poziomów pól elektromagnetycznych w środowisku (Dz. U. 2020, poz. 258 z późn. zm. w Dz.U. 2022 poz. 1121) zaznaczając, że wymagane jest wykonanie pomiaru z wykorzystaniem miernika selektywnego. W przypadku uzyskania wyniku pomiaru szerokopasmowego wykonanego zastosowaną metodą, dla zakresów częstotliwości od 10 MHz do 300 GHz, powiększonego o rozszerzoną niepewność pomiaru  $U$  dla współczynnika rozszerzenia  $k = 2$  nieprzekraczającego 70% najniższej dopuszczalnej wartości składowej elektrycznej lub magnetycznej pola dla objętych pomiarami zakresów częstotliwości, nie uwzględnia się poprawek pomiarowych.

#### 8.4. Wyposażenie pomiarowe

Zestaw pomiarowy służący do pomiaru natężenia składowej elektrycznej pola elektromagnetycznego złożony z szerokopasmowego miernika i sondy pomiarowej:

| Oznaczenie miernika | Producent   | Model                                 | Numer fabryczny | Oznaczenie sondy | Producent   | Model       | Numer fabryczny |
|---------------------|-------------|---------------------------------------|-----------------|------------------|-------------|-------------|-----------------|
| MW-05               | Wavecontrol | Miernik pól elektromagnetycznych SMP2 | 22SN2087        | SW-09            | Wavecontrol | Sonda WPF60 | 22WP230220      |

Mierniki natężenia pola elektromagnetycznego podlegają okresowemu sprawdzeniu zgodnie z procedurą wewnętrzną P-03 i PB-01. Świadectwo wzorcowania zestawu pomiarowego z dnia 4 listopada 2022 o numerze LWIMP/W/336/22 wydane przez HIK-Consulting Krzysztof Kuc.

Data ważności świadectwa wzorcowania: 4 listopada 2024 (zgodnie z procedurą wewnętrzną P-03).

| Oznaczenie miernika | Producent   | Model                                 | Numer fabryczny | Oznaczenie sondy | Producent   | Model         | Numer fabryczny |
|---------------------|-------------|---------------------------------------|-----------------|------------------|-------------|---------------|-----------------|
| MW-05               | Wavecontrol | Miernik pól elektromagnetycznych SMP2 | 22SN2087        | SW-10            | Wavecontrol | Sonda WPF3-HP | 22WP030449      |

Mierniki natężenia pola elektromagnetycznego podlegają okresowemu sprawdzeniu zgodnie z procedurą wewnętrzną P-03 i PB-01. Świadectwo wzorcowania zestawu pomiarowego z dnia 4 listopada 2022 o numerze LWIMP/W/336/22 wydane przez HIK-Consulting Krzysztof Kuc.

Data ważności świadectwa wzorcowania: 4 listopada 2024 (zgodnie z procedurą wewnętrzną P-03).

Termohigrometr:

|             |       |            |                    |        |                       |
|-------------|-------|------------|--------------------|--------|-----------------------|
| Oznaczenie: | TH-16 | Producent: | AZ INSTRUMENT CORP | Model: | Termohigrometr AZ8706 |
|-------------|-------|------------|--------------------|--------|-----------------------|

Data ważności świadectwa wzorcowania: 19 maja 2024 (zgodnie z procedurą wewnętrzną P-03).

Dalmierz:

| Oznaczenie | Producent | Typ                       | Numer seryjny | Nr świadectwa wzorcowania   | Data świadectwa wzorcowania |
|------------|-----------|---------------------------|---------------|-----------------------------|-----------------------------|
| D-18       | Leica     | Dalmierz Leica Disto D510 | 1096585932    | L4-L41.4180.205.2021.4102.2 | 16 grudnia 2021             |

Data ważności świadectwa wzorcowania: 16 grudnia 2031 (zgodnie z procedurą wewnętrzną P-03).

Sprawozdanie z badań bez pisemnej zgody laboratorium nie może być powielane inaczej niż w całości.  
Wynik przedstawione w niniejszym sprawozdaniu odnoszą się wyłącznie do badanego obiektu i do warunków i konfiguracji urządzeń w dniu wykonywania pomiarów.

## 9. Wyniki pomiarów

### Pole elektryczne

| Nr pionu | Opis umiejscowienia pionu (punktu) pomiarowego                    | Wysokość pomiaru [m] | Zmierzona wartość natężenia pola elektrycznego E [V/m] <sup>1,5</sup> |             |       | Wartość natężenia pola elektrycznego powiększona o niepewność pomiaru <sup>4</sup> E [V/m] | Wskaźnikowa wartość poziomu emisji pól elektromagnetycznych WM <sub>E</sub> <sup>3</sup> | Współrzędne geograficzne pionu (punktu) pomiarowego <sup>2</sup> |
|----------|---|----------------------|---|-------------|-------|--|--|--|
|          |   |                      | Sonda SW-09   | Sonda SW-10 | SUMA  |  |  |  |
| 1        | GKP w odległości 135m od anteny radioliniowej az. 101°            | 0.3-2.0              | <1.0*   | <1.0*       | <1.0* | 1.3  | 0.05   | 50°1'57.7" 22°40'46.2"   |
| 2        | PPP na az. 78° w odległości 48m od anteny radioliniowej az. 101°  | 0.3-2.0              | <1.0*   | <1.0*       | <1.0* | 1.3  | 0.05   | 50°1'58.8" 22°40'41.2"   |
| 3        | PPP na az. 359° w odległości 21m od anteny radioliniowej az. 101° | 0.3-2.0              | <1.0*   | <1.0*       | <1.0* | 1.3  | 0.05   | 50°1'59.2" 22°40'39.0"   |
| 4        | PPP na az. 139° w odległości 48m od anteny radioliniowej az. 101° | 0.3-2.0              | <1.0*   | <1.0*       | <1.0* | 1.3  | 0.05   | 50°1'57.4" 22°40'40.4"   |
| 5        | PPP na az. 219° w odległości 27m od anteny radioliniowej az. 101° | 0.3-2.0              | <1.0*   | <1.0*       | <1.0* | 1.3  | 0.05   | 50°1'58.1" 22°40'37.9"   |

### Pole magnetyczne (wyznaczone na podstawie pomiaru wartości natężenia pola elektrycznego)

| Nr pionu | Opis umiejscowienia pionu (punktu) pomiarowego                    | Wysokość pomiaru [m] | Wartość natężenia pola magnetycznego H [A/m] <sup>1</sup> |             |         | Wartość natężenia pola magnetycznego powiększona o niepewność pomiaru <sup>4</sup> H [A/m] | Wskaźnikowa wartość poziomu emisji pól elektromagnetycznych WM <sub>H</sub> <sup>3</sup> | Współrzędne geograficzne pionu (punktu) pomiarowego <sup>2</sup> |
|----------|---|----------------------|---|-------------|---------|--|--|--|
|          |   |                      | Sonda SW-09   | Sonda SW-10 | SUMA    |  |  |  |
| 1        | GKP w odległości 135m od anteny radioliniowej az. 101°            | 0.3-2.0              | <0.003*   | <0.003*     | <0.003* | 0.003  | 0.05   | 50°1'57.7" 22°40'46.2"   |
| 2        | PPP na az. 78° w odległości 48m od anteny radioliniowej az. 101°  | 0.3-2.0              | <0.003*   | <0.003*     | <0.003* | 0.003  | 0.05   | 50°1'58.8" 22°40'41.2"   |
| 3        | PPP na az. 359° w odległości 21m od anteny radioliniowej az. 101° | 0.3-2.0              | <0.003*   | <0.003*     | <0.003* | 0.003  | 0.05   | 50°1'59.2" 22°40'39.0"   |
| 4        | PPP na az. 139° w odległości 48m od anteny radioliniowej az. 101° | 0.3-2.0              | <0.003*   | <0.003*     | <0.003* | 0.003  | 0.05   | 50°1'57.4" 22°40'40.4"   |
| 5        | PPP na az. 219° w odległości 27m od anteny radioliniowej az. 101° | 0.3-2.0              | <0.003*   | <0.003*     | <0.003* | 0.003  | 0.05   | 50°1'58.1" 22°40'37.9"   |

GKP – Główny Kierunek Pomiarowy  
PPP – Pomocniczy Pion pomiarowy

<sup>1</sup> wyniki oznaczone \* są wynikami poniżej czułości zestawu pomiarowego

Sprawozdanie z badań bez pisemnej zgody laboratorium nie może być powielane inaczej niż w całości.  
Wynik przedstawione w niniejszym sprawozdaniu odnoszą się wyłącznie do badanego obiektu i do warunków i konfiguracji urządzeń w dniu wykonywania pomiarów.

<sup>2</sup> współrzędne geograficzne pozyskane metodą pomiaru bezpośredniego

<sup>3</sup> do wyznaczenia wartości wskaźnikowej  $WM_E$  i  $WM_H$  przyjęto na podstawie uzgodnień z klientem oraz rozpoznania źródeł, jako wartości dopuszczalne pola elektrycznego i magnetycznego odpowiednio 28 V/m i 0,073 A/m.

<sup>4</sup> do wyznaczenia niepewności dla wyników poniżej czułości zestawu pomiarowego, przyjęto niepewność dla minimalnej wartości z zakresu pomiarowego.

<sup>5</sup> maksymalna wartość chwilowa

Niepewność oszacowano zgodnie z dokumentem P-03 „Procedura nadzoru nad wyposażeniem” w postaci niepewności rozszerzonej wynikającej z niepewności standardowej pomnożonej przez współczynnik rozszerzenia  $k=2$ .

Całkowita szacowana niepewność rozszerzona składowej E wynosi odpowiednio:

sonda SW-09: 27.9% dla częstotliwości do 3 GHz, sonda SW-10: 27.6% dla częstotliwości do 3 GHz

Umiejscowienie pionów (punktów) pomiarowych przedstawiono w załączniku nr 2 do niniejszego sprawozdania.

## 10. Omówienie wyników pomiarów

W związku z tym, że żadna z wartości zmierzonych, udokumentowanych w tabelach w pkt. 9, uzyskanych w skutek zastosowania pomiaru szerokopasmowego, powiększonego o rozszerzoną niepewność pomiaru  $U$  dla współczynnika rozszerzenia  $k = 2$  nie przekroczyła 70% najniższej dopuszczalnej wartości składowej elektrycznej lub magnetycznej pola dla objętych pomiarami zakresów częstotliwości, nie uwzględnia się poprawek pomiarowych.

W wyniku zastosowania sposobu sprawdzenia dotrzymania dopuszczalnych poziomów pól elektromagnetycznych w środowisku, zgodnie pkt 25 ppkt 1 Rozporządzenia Ministra Klimatu z dnia 17 lutego 2020 r. (Dz. U. 2020, poz. 258 z późn. zm. w Dz.U. 2022 poz. 1121), w związku z tym, że żadna z wartości wskaźnikowych, udokumentowanych w tabelach w pkt. 9 nie przekracza wartości 1, stwierdza się, że w miejscach, w których wykonano pomiary w otoczeniu instalacji radiokomunikacyjnej 21019 (21019N!) LEMANS TMPL JAROSŁAW DK77 (KPR\_JAROSLAW\_JAROSLAW77), dopuszczalne poziomy pole elektromagnetycznych w środowisku należy uznać za dotrzymane.

## 11. Podstawa prawna

- 1) Ustawa z dnia 27 kwietnia 2001 r. Prawo ochrony środowiska (t. j. Dz. U. z 2021 r., poz. 1973 z późn.zm.)
- 2) Rozporządzenie Ministra Zdrowia z dnia 17 grudnia 2019 r. w sprawie dopuszczalnych poziomów pól elektromagnetycznych w środowisku (Dz. U. 2019, poz. 2448)
- 3) Rozporządzenie Ministra Klimatu z dnia 17 lutego 2020 r. w sprawie sposobów sprawdzania dotrzymania dopuszczalnych poziomów pól elektromagnetycznych w środowisku (Dz. U. 2020, poz. 258 z późn. zm. w Dz.U. 2022 poz. 1121),
- 4) Akredytacja nr AB 419 wydana przez Polskie Centrum Akredytacji (wydanie 20, z dnia 10 czerwca 2022r.).

## 12. Spis załączników

Załącznik 1. Lokalizacja obiektu badań

Załącznik 2. Usytuowanie pionów (punktów) pomiarowych

Załącznik 3. Dokumentacja fotograficzna obiektu badań

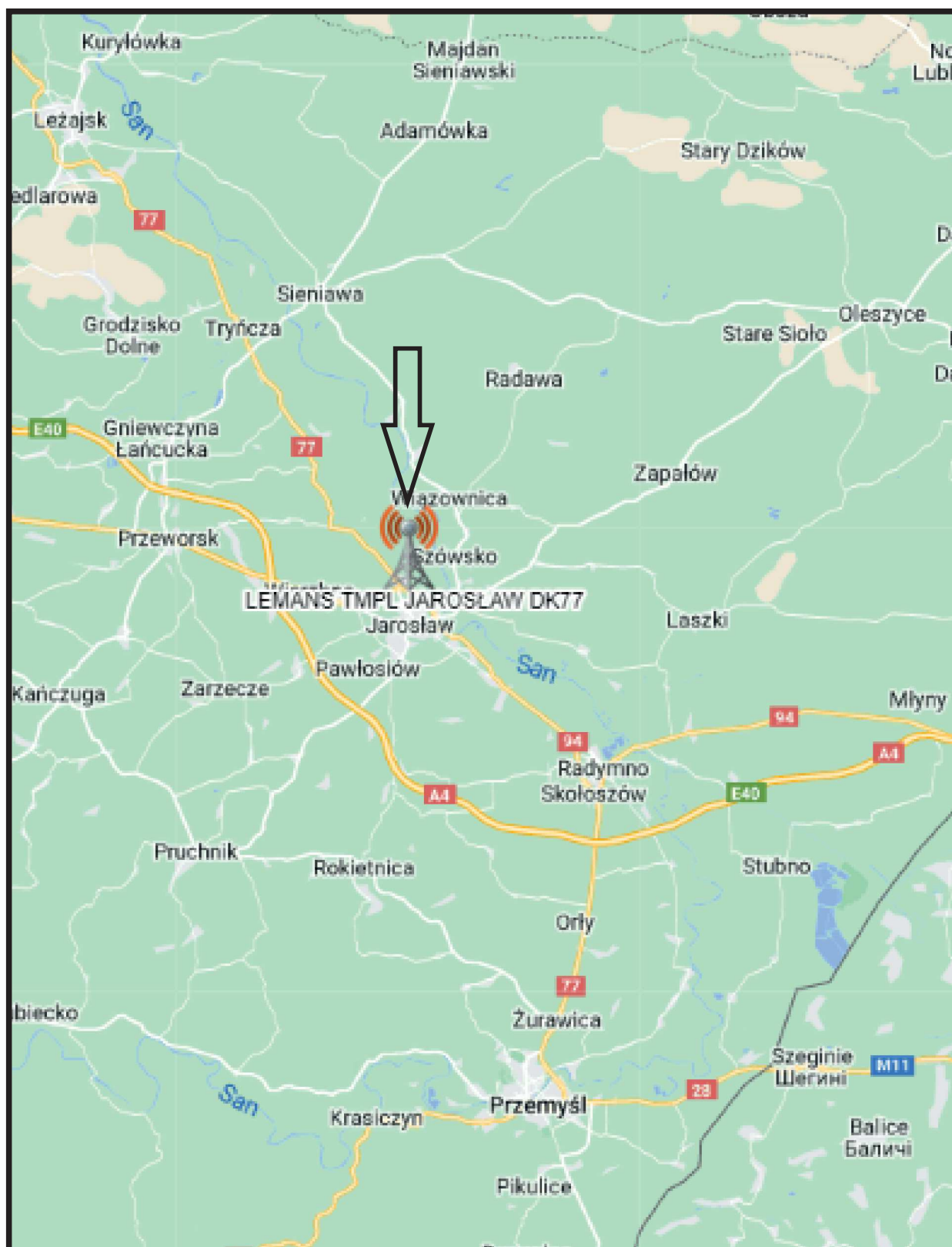
## 13. Data wydania i autoryzowania sprawozdania

Obliczenia i sprawozdanie wykonał :

Sprawozdanie autoryzował:

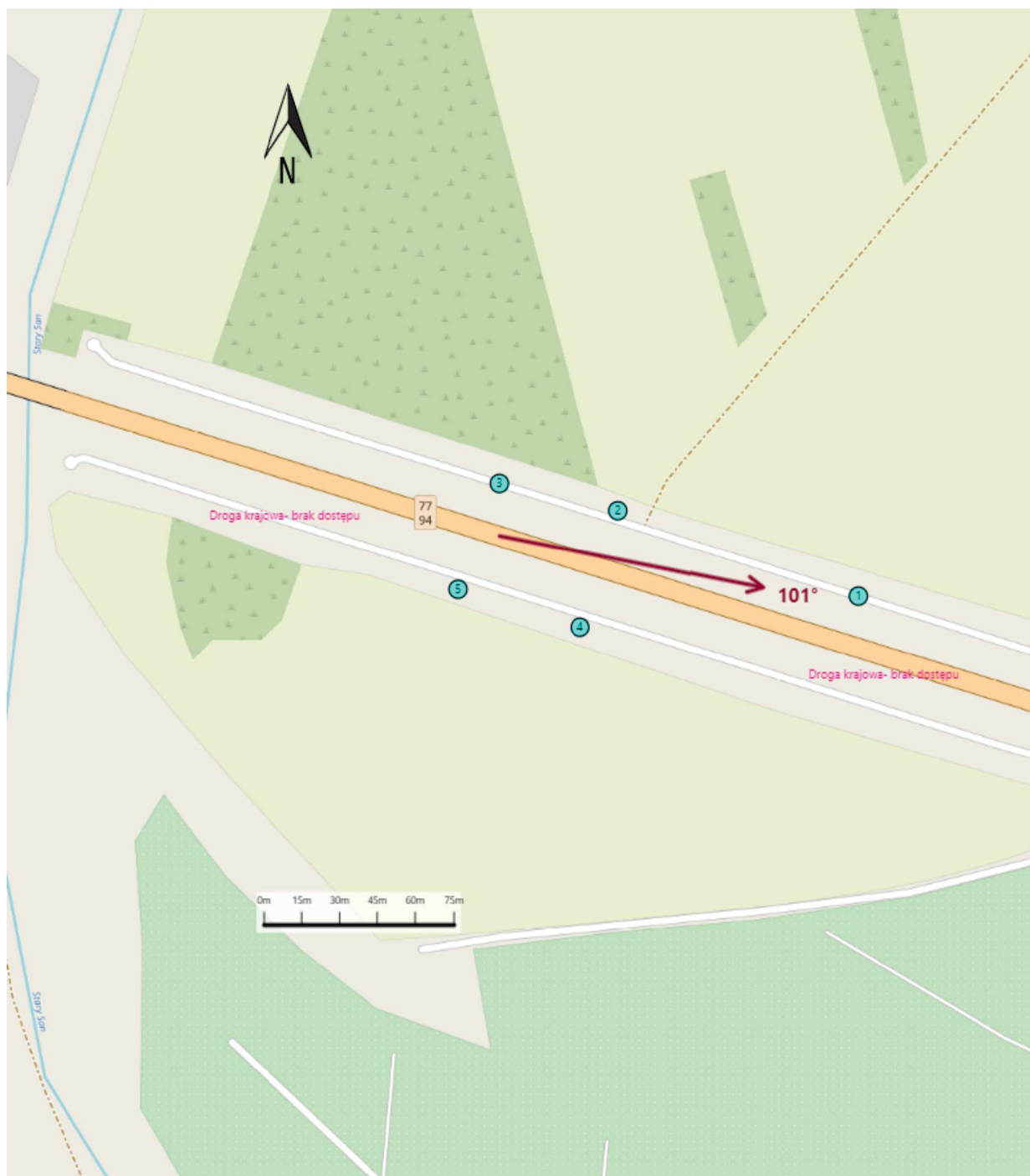
## Koniec sprawozdania




Sprawozdanie z badań bez pisemnej zgody laboratorium nie może być powielane inaczej niż w całości.  
Wynik przedstawione w niniejszym sprawozdaniu odnoszą się wyłącznie do badanego obiektu i do warunków i konfiguracji urządzeń w dniu wykonywania pomiarów.



Załącznik nr 1

**INSTALACJA RADIOKOMUNIKACYJNA Orange Polska S.A. 21019 (21019N!) LEMANS TMPL JAROSŁAW DK77**  
(KPR\_JAROSŁAW\_JAROSŁAW77)  
Lokalizacja instalacji radiokomunikacyjnej



|                |  |
|----------------|--|
| Załącznik nr 2 | <p>Instalacja radiokomunikacyjna Orange Polska S.A.<br/>KPR_JAROSLAW_JAROSLAW77 (21019N!)</p> <p>Usytuowanie pionów pomiarowych w otoczeniu instalacji radiokomunikacyjnej</p>   |
|                | <p>Legenda:</p> <div style="display: flex; justify-content: space-around; align-items: center;"> <div style="text-align: center;">  <p>Pion pomiarowy</p> </div> <div style="text-align: center;">  <p>Kierunek oddziaływania<br/>anten sektorowych</p> </div> <div style="text-align: center;">  <p>Kierunek oddziaływania<br/>anten radioliniowych</p> </div> </div> |





Załącznik nr 3

**INSTALACJA RADIOKOMUNIKACYJNA Orange Polska S.A. 21019 (21019N!) LEMANS TMPL JAROSŁAW Dk77**  
(KPR\_JAROSŁAW\_JAROSŁAW77)  
Zdjęcia instalacji radiokomunikacyjnej